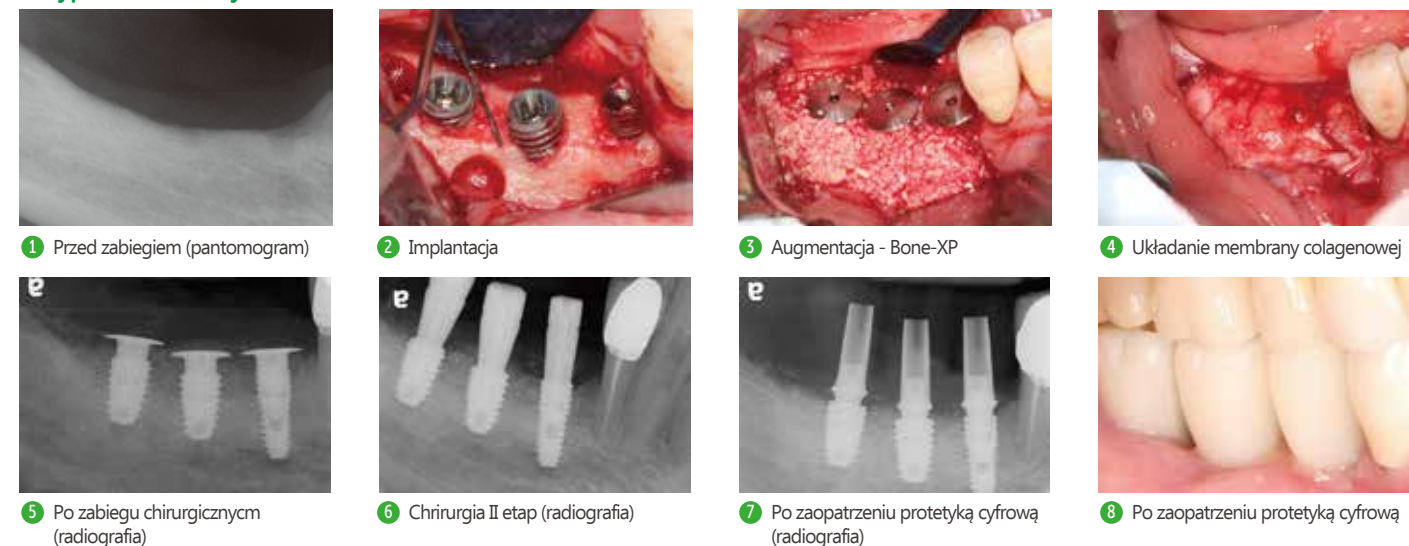


Przypadki kliniczne

Przypadek kliniczny 1



Przypadek kliniczny 2



Bibliografia

- Jung-Wook Shin et al., 2004, In vitro study of osteogenic differentiation of bone marrow stromal cells on heat-treated porcine trabecular bone blocks, *Biomaterials* 25 (2004) 527-535
- Jung-Wook Shin et al., 2009, Biocompatibility Evaluation of Heat-treated Mineralized Porcine Cancellous Bone-Using animal & Clinical Study, *J. of Korean Orthopaedic Research Society* Volume 12
- M. Figueiredo et al., 2010, Effect of the calcination temperature on the composition and microstructure of hydroxyapatite derived from human and animal bone, *Ceramics International* 36 (2010) 2383-2393
- Daniel N. Bracey et al., 2018, A Decellularized Porcine Xenograft-Derived Bone Scaffold for Clinical Use as a Bone Graft Substitute: A Critical Evaluation of Processing and Structure, *J. Funct. Biomater.*
- Al Pearce et al., 2007, Animal models for Implant biomaterial research in Bone A review, *European Cells and Materials* Vol. 13. 2007
- M.Figueiredo, Effect of the calcination temperature on the composition and microstructure of hydroxyapatite derived from human and animal bone. *Ceramics International* 36 (2010) 2383-2393
- Jung-Bo Huh et al., (2019) Comparison of Bone Regeneration between Porcine-Derived and Bovine-Derived Xenografts in Rat Calvarial Defects: A Non-Inferiority Study

MedPark
Your Reliable Partner

MedPark
Your Reliable Partner

PORCINE XENOGRAFT

MATERIAŁ KOŚCIOZASTĘPCZY
POCHODZENIA WIEPRZOWEGO

medparkpolska.pl
www.medparkpolska.pl

Grzybowska 80/82 Warszawa 00-844
tel: +48 507 000 470 ; +48 507 000 450
e-mail: biuro@medparkpolska.pl

Bone-D XP

CE
1434

Wyprodukowany przez **MedPark**

PORCINE XENOGRAFT

Oryginalna technologia, materiał przetestowany klinicznie



Charakterystyka produktu



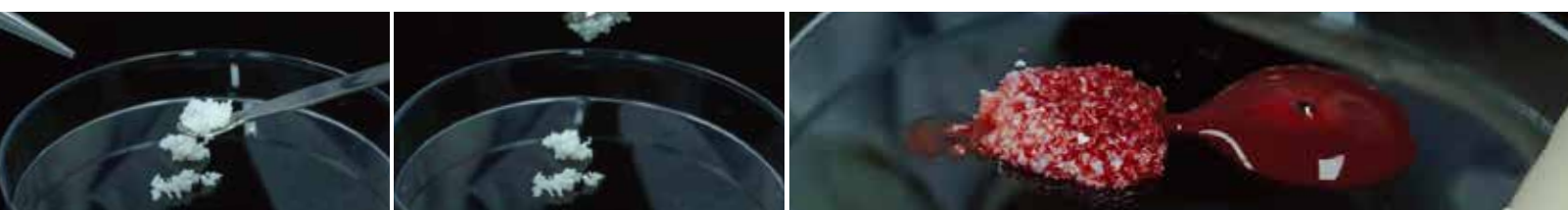
MATERIAŁ	TYP	WIELKOŚĆ	MASA/OBJĘTOŚĆ
Pochodzenia wieprzowego	Proszek	0.2~1.0 (mm)	<ul style="list-style-type: none"> 0.15 g / 0.36 cc 0.25 g / 0.6 cc 0.5 g / 1.2 cc 1.0 g / 2.4 cc
			Cząstki

✔ **Łatwe umieszczanie**

Wysoka zwilżalność sprawia, że dobrze miesza się z solą fizjologiczną i krwią. Bone-XP nie ulega łatwo rozproszeniu podczas zabiegu podniesienia dna zatoki szczękowej.

✔ **Wysoka zwilżalność**

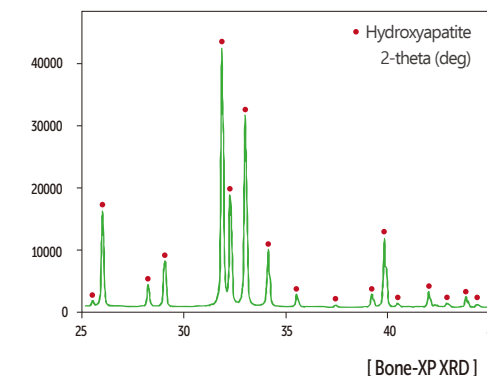
Stymulacja tworzenia się nowych kości dzięki doskonałemu nawodnieniu krwią. Osteoblasty we krwi pomagają w tworzeniu nowej kości.



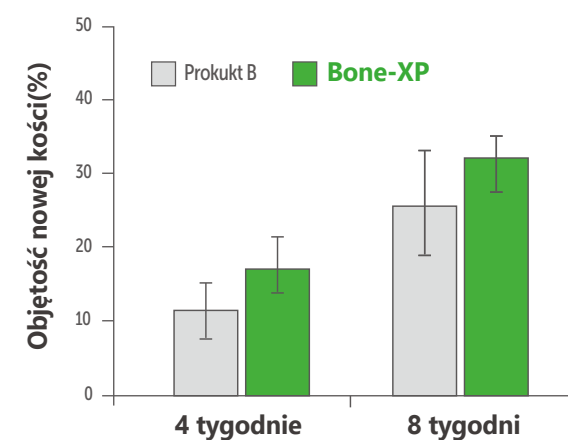
Wysoka biokompatybilność

Zaawansowana biokompatybilność materiału

Składnik	Zawartość (%)
Ca	1.007
P	0.5901
Ca/P	1.7063
Ludzki Ca/P	1.68 ~ 1.71

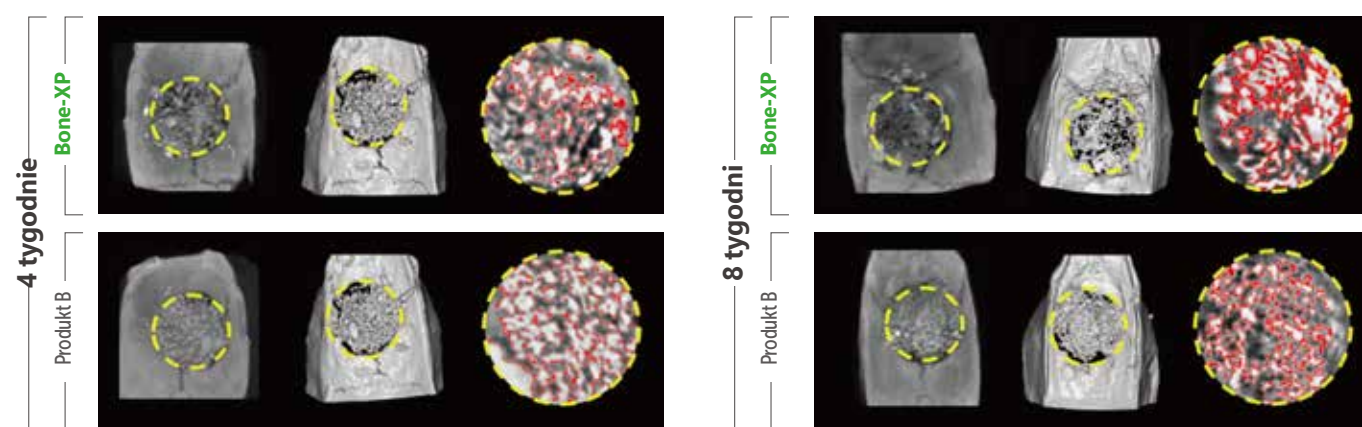


Porównanie szybkości tworzenia nowej kości (%)



Grupa	4 tygodnie		8 tygodni	
	Produkt B	Bone-XP	Produkt B	Bone-XP
Średnia	11.6	17.52	25.89	32.09
SD	3.88	3.78	7.43	3.51
p-Wartość	0.092		0.38	

SD : Odchylenie standardowe



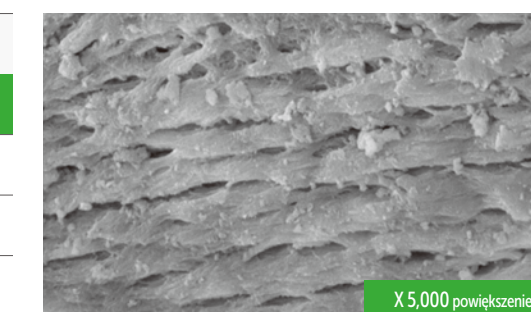
Obraz mikrotomograficzny; zaznacza na czerwono nową kość w obszarze odczytu (żółta linia przerywana)

Doskonała struktura porów

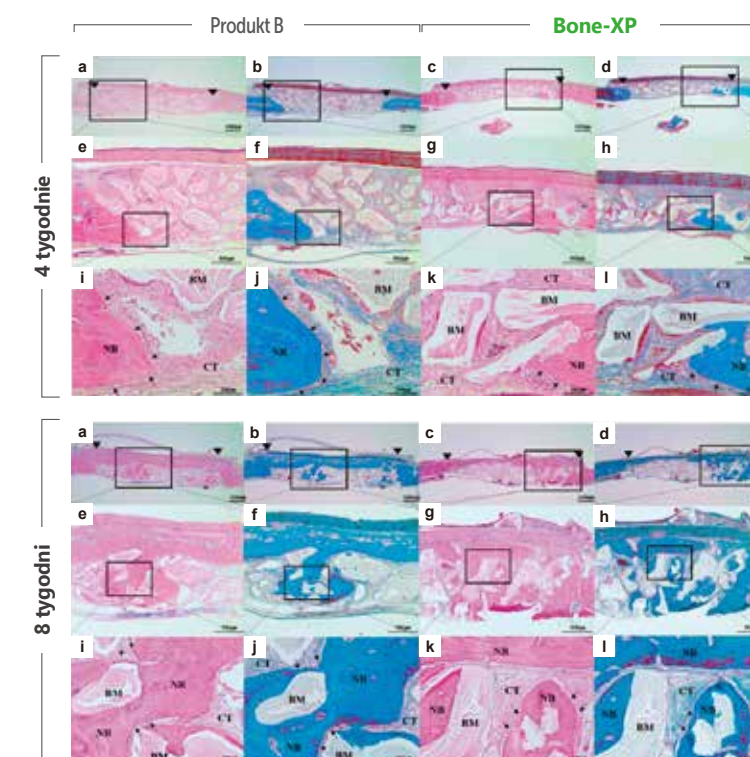
Wysoki współczynnik porowatości potwierdzony testem

Szorstka powierzchnia mikrostruktury ułatwia osteoblastom przyleganie do powierzchni (Pomiar wielkości i szybkości porów obecnych na powierzchni próbki poprzez adsorpcję rtęci na próbce)

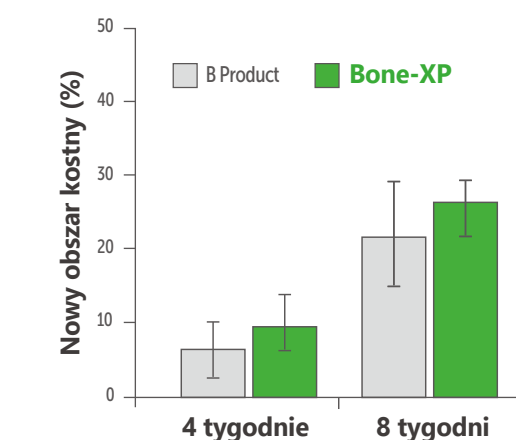
	Zawartość (%)
Bone - XP	76.14
Producent 'A'	75.13
Producent 'B'	48.74
Producent 'C'	36.36



Badanie histologiczne



NB : New Bone, BM : Bone graft material, CT : Connective tissue



Aktywowany osteoblast otacza nową kość

Obszar nowej kości (%)	Grupy	Średnia	SD	p-Wartość
		4 tygodnie	5.83	
	8 tygodni	21.68	11.11	0.273
		25.22	13.56	